

## Al<sub>2</sub>O<sub>3</sub>첨가에 의한 FePt후막의 보자력 향상

장평우<sup>1\*</sup>, 이봉한<sup>1</sup>, 김산<sup>1</sup>, 이궁원<sup>2</sup>

<sup>1</sup> 청주대학교 이공대학 응용과학부

<sup>2</sup> 고려대학교 과학기술대학 디스플레이반도체물리학과

### 1. 서론

FePt 박막의 결정자기이방성은 10<sup>7</sup> erg/cc정도로 매우 커 나노박막이나 나노입자에서도 큰 보자력을 가진다. 그러나 박막이 두꺼워지면 보자력은 급격히 감소하여 1000 nm이상에서는 1 kOe이하의 보자력을 나타낸다. 본 연구에서는 FePt의 이러한 단점을 극복하고자 FePt상에 Al<sub>2</sub>O<sub>3</sub>를 분산시킨 FePt-Al<sub>2</sub>O<sub>3</sub>박막을 만들어 그 특성을 검토하였다.

### 2. 실험방법

Fe<sub>50</sub>Pt<sub>50</sub> 2 인치 합금타켓에 3 × 3 mm Al<sub>2</sub>O<sub>3</sub> chip을 2, 4, 6 개 얹은 복합타겟을 사용한 rf magnetron sputter장치로 두께 1 - 3 um의 FePt-Al<sub>2</sub>O<sub>3</sub>박막을 제작하여 1 × 10<sup>-6</sup> torr의 진공 600°C에서 1시간 열처리하였다. 자기특성은 진동시료형 자력계와 펄스자성장치를 이용하였고, 결정구조는 x-선 회절장치를 이용해 측정하였다.

### 3. 실험결과

그림 1은 Al<sub>2</sub>O<sub>3</sub>를 첨가하지 않은 FePt박막의 10 kOe의 최대자기장하에서 측정한 자기이력곡선을 나타낸 것으로 0.5 um박막의 보자력은 4.5 kOe이었으며 박막이 두꺼워질수록 보자력이 감소하여 1.7 um에서는 0.6 kOe의 보자력을 보인다.

그림 2는 3 × 3 mm Al<sub>2</sub>O<sub>3</sub> chip을 4 개 얹은 FePt-Al<sub>2</sub>O<sub>3</sub>의 복합타겟으로 만든 박막의 두께에 따

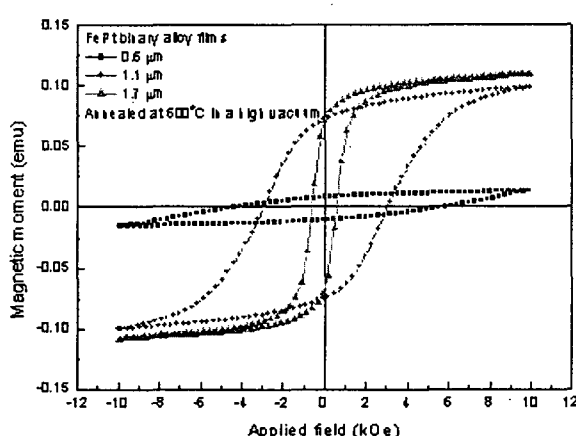


Fig. 1 VSM hysteresis loops of FePt binary alloy films

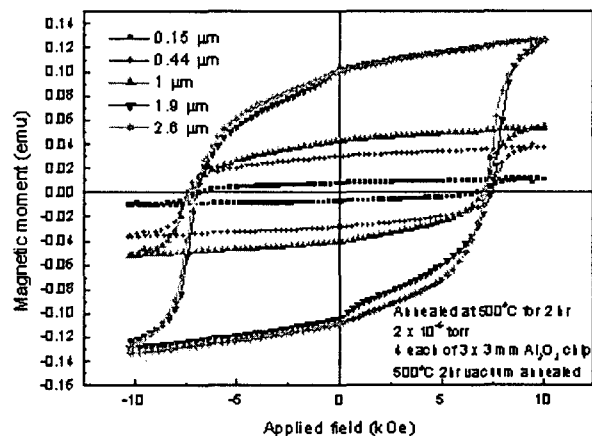


Fig. 2 VSM hysteresis loops of FePt-Al<sub>2</sub>O<sub>3</sub> composite films.

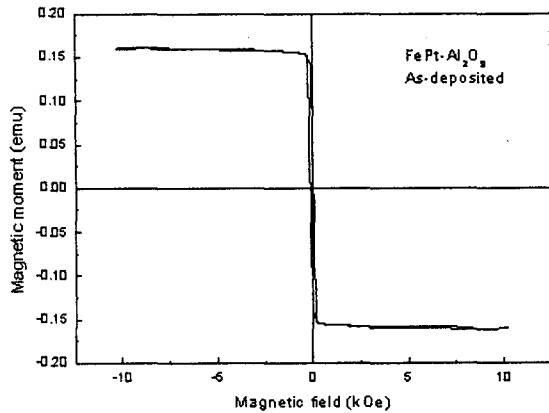


Fig. 3 VSM hysteresis loop of as-deposited 2.6 um thick FePt- $\text{Al}_2\text{O}_3$  film

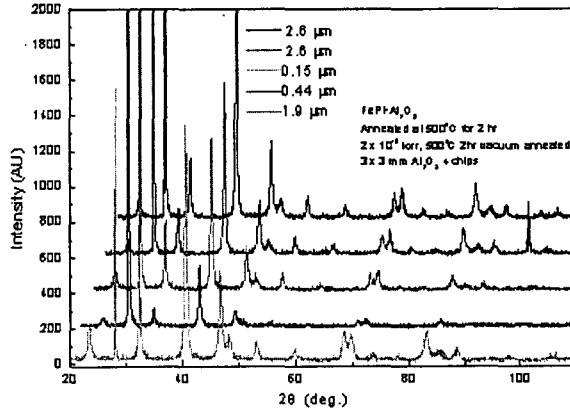


Fig. 4 XRD patterns of FePt- $\text{Al}_2\text{O}_3$  films

른 이력곡선의 변화를 나타낸 것으로 두께에 관계없이 약 7 kOe의 높은 보자력을 나타낸다. 그림 3은 열처리하지 않은 FePt- $\text{Al}_2\text{O}_3$ 박막의 VSM 이력곡선을 나타낸 것으로 전형적인 연자성곡선을 나타낸다.

그림 3은  $3 \times 3$  mm  $\text{Al}_2\text{O}_3$  chip을 4 개 얹은 FePt- $\text{Al}_2\text{O}_3$ 의 복합타겟으로 만든 박막의 XRD 결과로  $\text{L}_{10}$  FePt 규칙상의 회절선만을 관찰할 수 있었고  $\text{Al}_2\text{O}_3$ 상은 관찰되지 않았다.

#### 4. 고찰

FePt 규칙상의 결정이방성이 매우 커나 두꺼운 박막에서 보자력이 감소하는 것은 잘 알려져 있으며 그림 1에서도 이러한 경향을 확인할 수 있다. 박막이 성장하면서 초기에는 island 형태로 연속적이지 않았으나 성장을 하여 island가 연결되면 maze domain의 생성으로 보자력이 감소하는 것으로 알려져 있다. 본 연구에서 비자성 산화물인  $\text{Al}_2\text{O}_3$ 를 분산시켜 자구의 이동을 방해하고자 하였으며 그림 2에서와 같이 효과적임을 확인할 수 있었다.

그러나 보자력의 향상이 자벽이동의 방해 또는 역자구 생성의 억제에 기인하는 것인지는 다른 실험을 통해서 확인할 필요가 있다. 또한  $\text{Al}_2\text{O}_3$ 가 혼입되었다하더라도 열처리를 하지 않으면 그림 3에서와 같이 연자기 특성을 나타내는 것을 확인할 수 있었다.

열처리를 하는 동안에 FePt의 규칙상은 생성이 되지만  $\text{Al}_2\text{O}_3$  혼재물이 어떻게 변화하고 이것이 자구의 생성 또는 이동에 어떤 영향을 미치는 가하는 것은 그림 4의 XRD 실험에서 어떠한  $\text{Al}_2\text{O}_3$ 의 회절선을 확인할 수 없는 것으로 보아 미세구조관찰을 통해 확인할 필요가 있다.

#### 5. 결론

FePt이 원합금박막에  $\text{Al}_2\text{O}_3$ 을 분산시킴으로써 보자력을 효과적으로 향상시킬 수 있어 최대자장 10 kOe로 VSM에서 측정하였을 경우 두께 2.6 um의 박막에서 보자력 7 kOe 이상을 얻을 수 있었다.